

استوانه جدار ضخیم

محمد ابادری

۲۴ مرداد ۱۴۰۳

فهرست مطالب

۱	مسئله لامه-استوانه جدار ضخیم تحت فشار داخلی	۱
۱	۱.۱ تنش سطح	۱
۳	۱.۱.۱ تنش سطح با تنها فشار داخلی	۳
۳	۲.۱ کرنش سطح	۳
۵	۲ مدلسازی در MATLAB	۵
۹	۳ نتایج	۹
۱۰	۴ پیوست	۱۰
۱۰	۱.۴ تبدیل تنش از مختصات کارتری به استوانه‌ای	۱۰
۱۳	۲.۴ کد مدل 3D	۱۳
۱۶	۳.۴ کد مدل 2D	۱۶
۲۰	۴.۴ پایتون تولید هندسه در ABAQUS	۲۰
۲۱	مراجع	۲۱

۱ مسئله لامه-استوانه جدار ضخیم تحت فشار داخلی

استوانه جدار ضخیم به شعاع داخلی R_i و شعاع خارجی R_o و طول L تحت فشار داخلی P_i و فشار خارجی $P_o = 0$ در نظر می‌گیریم. دو حالت تنش $\sigma_z = 0$ و کرنش $\varepsilon_z = 0$ سطح داریم.

۱.۱ تنش سطح

با فرض آزاد بودن دو انتهای استوانه، فرض $\sigma_z = 0$ برای نتایج برقرار خواهد بود.

$$\frac{\partial \sigma_r}{\partial r} + \frac{\sigma_r - \sigma_\theta}{r} = 0$$

r تنها پارامتر مستقل در رابطه فوق است، و میتوان این رابطه را به شکل زیر بازنویسی کرد:

$$\frac{d}{dr}(r\sigma_r) - \sigma_\theta = 0 \quad (1)$$

از قانون هوک [۱] داریم،

$$\begin{aligned}\varepsilon_r &= \frac{1}{E} (\sigma_r - \nu \sigma_\theta) \\ \varepsilon_\theta &= \frac{1}{E} (\sigma_\theta - \nu \sigma_r) \\ \sigma_r &= \frac{E}{1 - \nu^2} (\varepsilon_r + \nu \varepsilon_\theta) \\ \sigma_\theta &= \frac{E}{1 - \nu^2} (\varepsilon_\theta + \nu \varepsilon_r)\end{aligned}$$

با جایگذاری روابط کرنش،

$$\begin{aligned}\sigma_r &= \frac{E}{1 - \nu^2} \left(\frac{du_r}{dr} + \nu \frac{u_r}{r} \right) \\ \sigma_\theta &= \frac{E}{1 - \nu^2} \left(\frac{u_r}{r} + \nu \frac{du_r}{dr} \right)\end{aligned}\quad (۲)$$

با جایگذاری این رابطه در رابطه (۱)

$$\begin{aligned}\frac{d}{dr} \left(r \frac{du_r}{dr} + \nu u_r \right) - \left(\frac{u_r}{r} + \nu \frac{du_r}{dr} \right) &= 0 \\ \frac{du_r}{dr} + r \frac{d^2 u_r}{dr^2} + \nu \frac{du_r}{dr} - \frac{u_r}{r} - \nu \frac{du_r}{dr} &= 0 \\ \frac{d^2 u_r}{dr^2} + \frac{1}{r} \frac{du_r}{dr} - \frac{u_r}{r^2} &= 0 \\ \frac{d}{dr} \left[\frac{1}{r} \frac{d}{dr} (u, r) \right] &= 0\end{aligned}$$

u_r از رابطه زیر پیروی می‌کند،

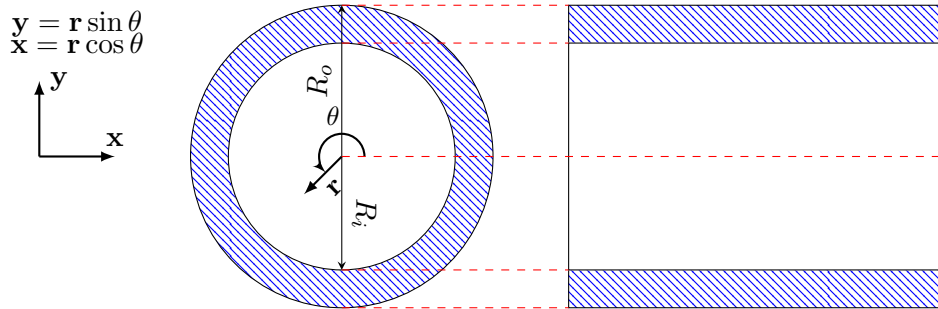
$$u_r = C_1 r + \frac{C_2}{r} \quad (۳)$$

با جایگذاری این رابطه در رابطه (۲)،

$$\begin{aligned}\sigma_r &= \frac{E}{1 - \nu^2} \left[C_1(1 + \nu) - C_2(1 - \nu) \frac{1}{r^2} \right] \\ \sigma_\theta &= \frac{E}{1 - \nu^2} \left[C_1(1 + \nu) + C_2(1 - \nu) \frac{1}{r^2} \right]\end{aligned}\quad (۴)$$

C_1 و C_2 ثابت‌هایی است که با اعمال شرایط مرزی مشخص می‌گردد.

$$\begin{aligned}\sigma_r(r = R_i) &= -P_i = \frac{E}{1 - \nu^2} \left[C_1(1 + \nu) - C_2(1 - \nu) \frac{1}{R_i^2} \right] \\ \sigma_r(r = R_o) &= -P_o = 0 = \frac{E}{1 - \nu^2} \left[C_1(1 + \nu) - C_2(1 - \nu) \frac{1}{R_o^2} \right]\end{aligned}$$



شکل ۱.۱: هندسه مسئله لame.

با حل این معادلات،

$$C_1 = \frac{1 - \nu}{E} \frac{P_i R_i^2 - P_o R_o^2}{R_o^2 - R_i^2}$$

$$C_2 = \frac{1 + \nu}{E} \frac{R_i^2 - R_o^2}{R_o^2 - R_i^2} (P_i - P_o)$$

با جایگذاری این مقادیر داریم،

$$\sigma_r = \frac{P_i R_i^2 - P_o R_o^2}{R_o^2 - R_i^2} - \frac{R_i^2 R_o^2}{r^2} \frac{P_i - P_o}{R_o^2 - R_i^2} \quad (5)$$

$$\sigma_\theta = \frac{P_i R_i^2 - P_o R_o^2}{R_o^2 - R_i^2} + \frac{R_i^2 R_o^2}{r^2} \frac{P_i - P_o}{R_o^2 - R_i^2}$$

۱.۱.۱ تنش مسطح با تنها فشار داخلی

اگر فشار خارجی $P_o = 0$ باشد،

$$\sigma_r = \frac{P_i R_i^2}{R_o^2 - R_i^2} \left[1 - \frac{R_o^2}{r^2} \right] \quad (6)$$

$$\sigma_\theta = \frac{P_i R_i^2}{R_o^2 - R_i^2} \left[1 + \frac{R_o^2}{r^2} \right] \quad (7)$$

$$(8)$$

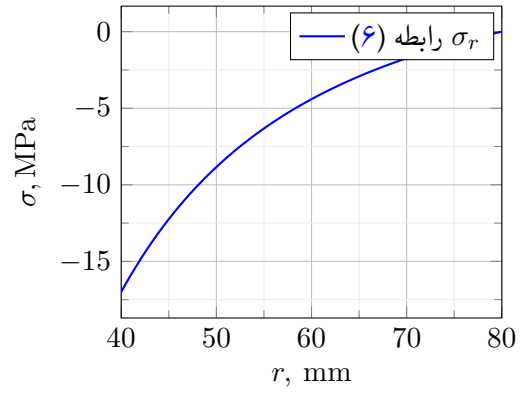
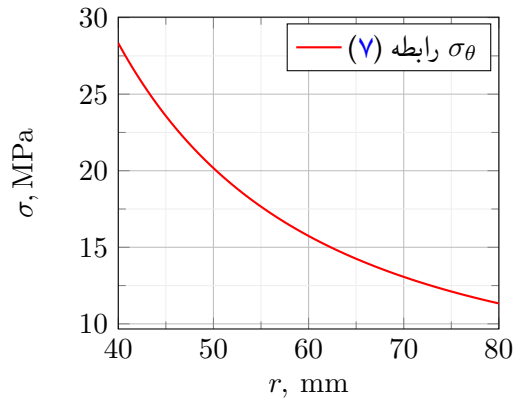
این روابط نشان می‌دهد که σ_r کماکان تنش فشاری یا منفی و σ_θ تنش کششی یا مثبت است.

۲.۱ کرنش مسطح

به همین ترتیب برای کنش مسطح، فرض بر تغییر نکردن σ_z در راستای محور z است، مطابق رابطه (۱)

$$\frac{d}{dr}(r\sigma_r) - \sigma_\theta = 0$$

از قانون هوک [۱]،



$$\varepsilon_r = \frac{1}{E} [\sigma_r - v(\sigma_\theta + \sigma_z)]$$

$$\varepsilon_\theta = \frac{1}{E} [\sigma_\theta - v(\sigma_r + \sigma_z)]$$

$$\varepsilon_z = \frac{1}{E} [\sigma_z - v(\sigma_r + \sigma_\theta)]$$

با $\varepsilon_z = 0$

$$\sigma_z = v(\sigma_r + \sigma_\theta)$$

$$\varepsilon_r = \frac{1+v}{E} [(1-v)\sigma_r - v\sigma_\theta]$$

$$\varepsilon_\theta = \frac{1+v}{E} [(1-v)\sigma_\theta - v\sigma_r]$$

با حل برای تنش،

$$\sigma_\theta = \frac{E}{(1-2v)(1+v)} [v\varepsilon_r + (1-v)\varepsilon_\theta]$$

$$\sigma_r = \frac{E}{(1-2v)(1+v)} [(1-v)\varepsilon_r + v\varepsilon_\theta]$$

و با جایگذاری کرنش،

$$\begin{aligned} \sigma_r &= \frac{E}{(1-2v)(1+v)} \left[(1-v) \frac{du_r}{dr} + v \frac{u_r}{r} \right] \\ \sigma_\theta &= \frac{E}{(1-2v)(1+v)} \left[v \frac{du_r}{dr} + (1-v) \frac{u_r}{r} \right] \end{aligned} \quad (9)$$

با جایگذاری این روابط در معادلات تعادل،

$$\begin{aligned}\frac{d}{dr} \left[(1-v)r \frac{du_r}{dr} + vu_r \right] - v \frac{du_r}{dr} - (1-v) \frac{u_r}{r} &= 0 \\ \frac{du_r}{dr} + r \frac{d^2 u_r}{dr^2} - \frac{u_r}{r} &= 0 \\ \frac{d}{dr} \left(\frac{du}{dr} + \frac{u_r}{r} \right) &= 0\end{aligned}$$

با فرض رابطه (۳) برای u_r و جایگذاری در رابطه (۹) داریم

$$\begin{aligned}\sigma_\theta &= \frac{E}{(1-2v)(1+v)} \left[C_1 + (1-2v) \frac{C_2}{r^2} \right] \\ \sigma_r &= \frac{E}{(1-2v)(1+v)} \left[C_1 - (1-2v) \frac{C_2}{r^2} \right]\end{aligned}$$

بر اساس حدود مرزی،

$$\begin{aligned}\sigma_r(r = R_i) &= -P_i = \frac{E}{(1-2v)(1+v)} \left[C_1 - (1-2v) \frac{C_2}{R_i^2} \right] \\ \sigma_r(r = R_o) &= -P_o = \frac{E}{(1-2v)(1+v)} \left[C_1 + (1-2v) \frac{C_2}{R_o^2} \right]\end{aligned}$$

در نتیجه،

$$\begin{aligned}C_1 &= \frac{(1-2v)(1+v)}{E} \frac{P_o R_o^2 - P_i R_i^2}{R_i^2 - R_o^2} \\ C_2 &= \frac{1+v}{E} \frac{(P_o - P_i) R_i^2 R_o^2}{R_i^2 - R_o^2}\end{aligned}$$

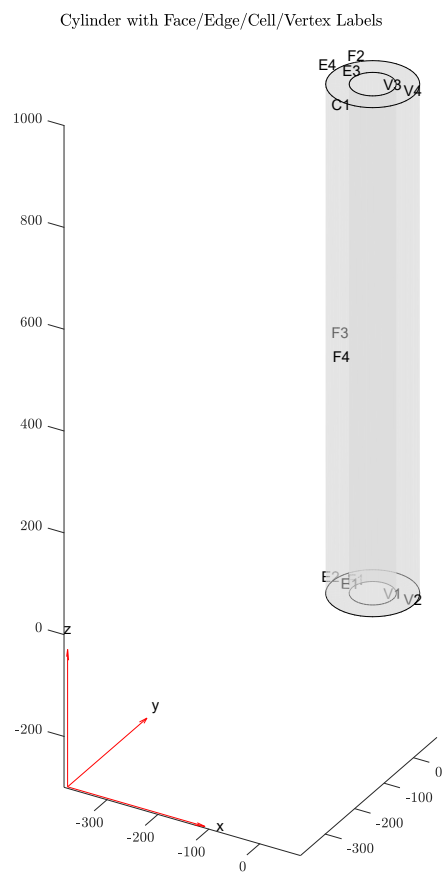
با جایگذاری این روابط داریم،

$$\begin{aligned}\sigma_r &= \frac{P_i R_i^2 - P_o R_o^2}{R_o^2 - R_i^2} - \frac{R_i^2 R_o^2}{r^2} \frac{P_i - P_o}{R_o^2 - R_i^2} \\ \sigma_\theta &= \frac{P_i R_i^2 - P_o R_o^2}{R_o^2 - R_i^2} + \frac{R_i^2 R_o^2}{r^2} \frac{P_i - P_o}{R_o^2 - R_i^2}\end{aligned}$$

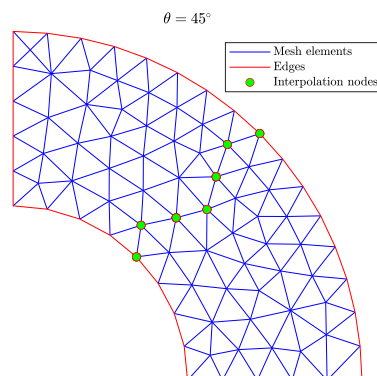
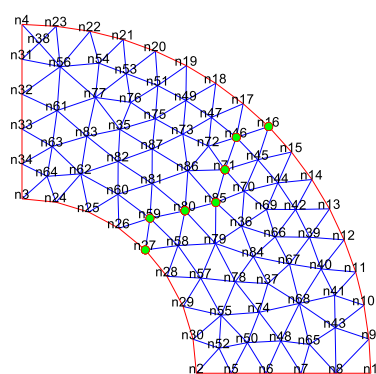
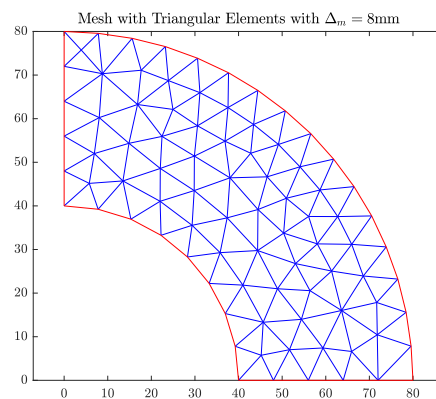
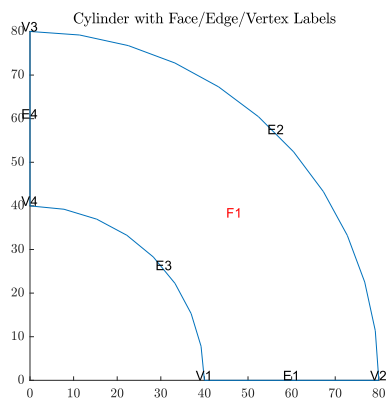
که معادل رابطه (۵) است.

۲ مدل سازی در MATLAB

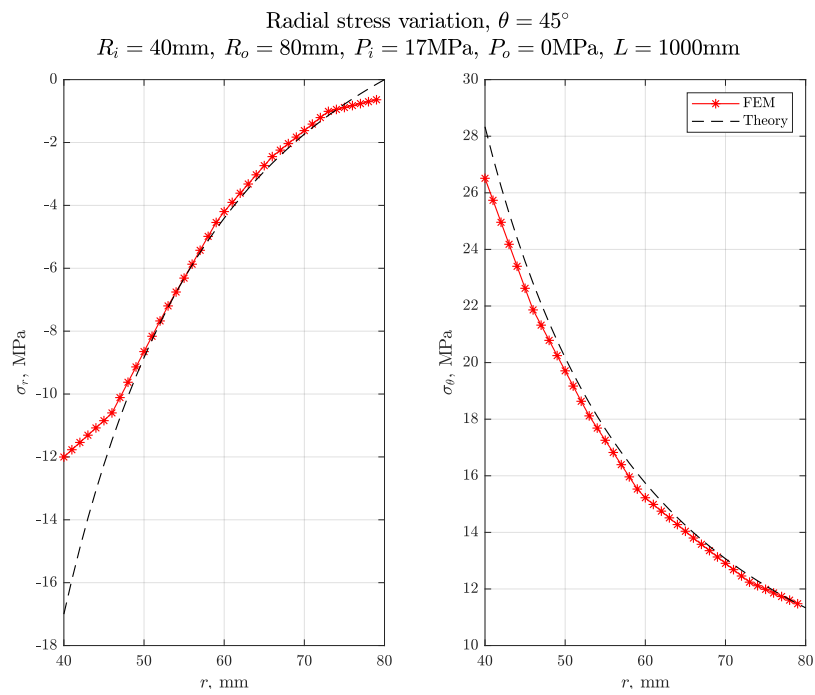
یک استوانه با شعاع داخلی $R_i = 40\text{mm}$ و شعاع خارجی $R_o = 80\text{mm}$ و به طول $L = 1000\text{mm}$ تحت فشار داخلی 17MPa با استفاده از جعبه ابزار مکانیک سازه MATLAB مدل سازی شد. از المان های شش وجهی درجه 2 برای مش استفاده گردید. کمینه اندازه المان 1mm و بیشینه آن 10mm است.



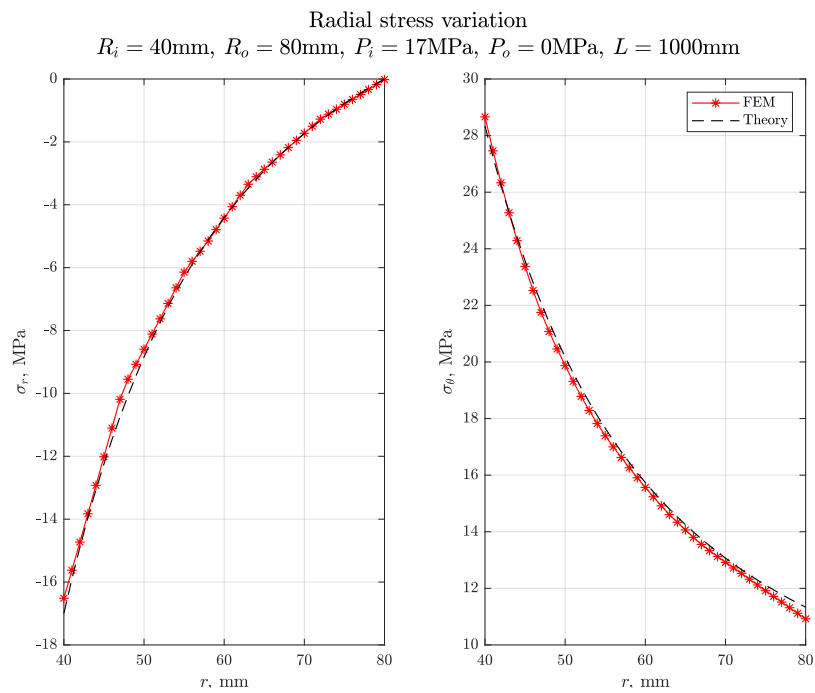
شکل ۱.۲: هندسه مدل سه بعدی.



شکل ۲.۲: مش و مدل دو بعدی.

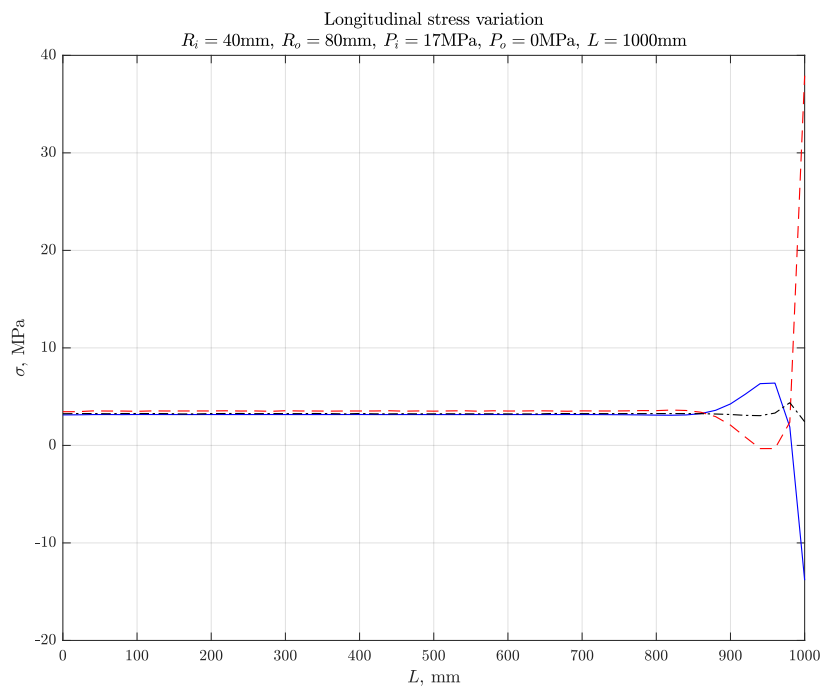


(آ) خروجی مدل 2D.



(ب) خروجی مدل 3D.

شکل ۳.۲: تغییرات تنش در شعاع.



شکل ۴.۲: تغییرات تنش در طول.

۳ نتایج

- مدل عددی متناسب (§ ۲) با روابط نظری (§ ۱) اثبات شده است (شکل ۳.۲).
- مدل عددی (§ ۲) و اثبات ریاضی (§ ۱) جفت نشان دهنده افت جفت تنش شعاعی σ_r و زاویه‌ای σ_θ با افزایش شعاع r است (شکل ۳.۲).
- همچنین تنش در راستای طولی مطابق خروجی عددی ثابت می‌ماند که بیان‌کننده برقراری فرض تنش یا کرنش مسطح است (شکل ۴.۲).
- نوسان تنش در انتهای بازه نمودار شکل ۴.۲ نشان دهنده حساسیت شدید مدل به شرایط مرزی و اندازه مش است. این نوسانات با افزایش اندازه مش کاسته می‌شود.

۴ پیوست

۱.۴ تبدیل تنش از مختصات کاردتزی به استوانه‌ای

Converting Tensors from Cartesian to Cylindrical

November 4, 2019

This work is licensed under a Creative Commons “Attribution 4.0 International” license.



From <http://solidmechanics.org/text/AppendixD/AppendixD.htm> we get:

$$\begin{bmatrix} S_{rr} & S_{r\theta} & S_{rz} \\ S_{\theta r} & S_{\theta\theta} & S_{\theta z} \\ S_{zr} & S_{\theta z} & S_{zz} \end{bmatrix} = \begin{bmatrix} \cos \theta & \sin \theta & 0 \\ -\sin \theta & \cos \theta & 0 \\ 0 & 0 & 1 \end{bmatrix} \begin{bmatrix} S_{xx} & S_{xy} & S_{xz} \\ S_{yx} & S_{\theta\theta} & S_{\theta z} \\ S_{zr} & S_{\theta z} & S_{zz} \end{bmatrix} \begin{bmatrix} \cos \theta & -\sin \theta & 0 \\ \sin \theta & \cos \theta & 0 \\ 0 & 0 & 1 \end{bmatrix} \quad (1)$$

Take the first two matrices and multiply them:

Note: to ease space constraints, the following translations have been defined:

$$\cos \theta = \mathbf{c}_\theta \quad (2)$$

$$\sin \theta = \mathbf{s}_\theta \quad (3)$$

$$\begin{aligned} \begin{bmatrix} \cos \theta & \sin \theta & 0 \\ -\sin \theta & \cos \theta & 0 \\ 0 & 0 & 1 \end{bmatrix} \begin{bmatrix} S_{xx} & S_{xy} & S_{xz} \\ S_{yx} & S_{\theta\theta} & S_{\theta z} \\ S_{zr} & S_{\theta z} & S_{zz} \end{bmatrix} \\ \Rightarrow \begin{bmatrix} \mathbf{c}_\theta S_{xx} + \mathbf{s}_\theta S_{yx} + 0 & \mathbf{c}_\theta S_{xy} + \mathbf{s}_\theta S_{yy} + 0 & \mathbf{c}_\theta S_{xz} + \mathbf{s}_\theta S_{yz} + 0 \\ -\mathbf{s}_\theta S_{xx} + \mathbf{c}_\theta S_{yx} + 0 & -\mathbf{s}_\theta S_{xy} + \mathbf{c}_\theta S_{yy} + 0 & -\mathbf{s}_\theta S_{xz} + \mathbf{c}_\theta S_{yz} + 0 \\ 0 + 0 + S_{zx} & 0 + 0 + S_{zy} & 0 + 0 + S_{zz} \end{bmatrix} \\ \Rightarrow \begin{bmatrix} \mathbf{c}_\theta S_{xx} + \mathbf{s}_\theta S_{yx} & \mathbf{c}_\theta S_{xy} + \mathbf{s}_\theta S_{yy} & \mathbf{c}_\theta S_{xz} + \mathbf{s}_\theta S_{yz} \\ -\mathbf{s}_\theta S_{xx} + \mathbf{c}_\theta S_{yx} & -\mathbf{s}_\theta S_{xy} + \mathbf{c}_\theta S_{yy} & -\mathbf{s}_\theta S_{xz} + \mathbf{c}_\theta S_{yz} \\ S_{zx} & S_{zy} & S_{zz} \end{bmatrix} \end{aligned} \quad (4)$$

Multiply the result by the third matrix:

$$\begin{aligned} \begin{bmatrix} \mathbf{c}_\theta S_{xx} + \mathbf{s}_\theta S_{yx} & \mathbf{c}_\theta S_{xy} + \mathbf{s}_\theta S_{yy} & \mathbf{c}_\theta S_{xz} + \mathbf{s}_\theta S_{yz} \\ -\mathbf{s}_\theta S_{xx} + \mathbf{c}_\theta S_{yx} & -\mathbf{s}_\theta S_{xy} + \mathbf{c}_\theta S_{yy} & -\mathbf{s}_\theta S_{xz} + \mathbf{c}_\theta S_{yz} \\ S_{zx} & S_{zy} & S_{zz} \end{bmatrix} \begin{bmatrix} \cos \theta & -\sin \theta & 0 \\ \sin \theta & \cos \theta & 0 \\ 0 & 0 & 1 \end{bmatrix} = \\ \begin{bmatrix} \mathbf{c}_\theta^2 S_{xx} + \mathbf{s}_\theta \mathbf{c}_\theta S_{yx} + \mathbf{c}_\theta \mathbf{s}_\theta S_{xy} + \mathbf{s}_\theta^2 S_{yy} & -\mathbf{c}_\theta \mathbf{s}_\theta S_{xx} - \mathbf{s}_\theta^2 S_{yx} + \mathbf{c}_\theta^2 S_{xy} + \mathbf{c}_\theta \mathbf{s}_\theta S_{yy} & \mathbf{c}_\theta S_{xz} + \mathbf{s}_\theta S_{yz} \\ -\mathbf{s}_\theta \mathbf{c}_\theta S_{xx} + \mathbf{c}_\theta^2 S_{yx} - \mathbf{s}_\theta^2 S_{xy} + \mathbf{c}_\theta \mathbf{s}_\theta S_{yy} & \mathbf{s}_\theta^2 S_{xx} - \mathbf{c}_\theta \mathbf{s}_\theta S_{yx} - \mathbf{c}_\theta \mathbf{s}_\theta S_{xy} + \mathbf{c}_\theta^2 S_{yy} & -\mathbf{s}_\theta S_{xz} + \mathbf{c}_\theta S_{yz} \\ \mathbf{c}_\theta S_{zx} + \mathbf{s}_\theta S_{zy} & -\mathbf{s}_\theta S_{zx} + \mathbf{c}_\theta S_{zy} & S_{zz} \end{bmatrix} \end{aligned} \quad (5)$$

Combine like terms, assuming that the tensor is symmetric (ie. $S_{ij} = S_{ji}$):

$$(5) \Rightarrow \begin{bmatrix} \mathbf{c}_\theta^2 S_{xx} + 2\mathbf{c}_\theta \mathbf{s}_\theta S_{xy} + \mathbf{s}_\theta^2 S_{yy} & -\mathbf{c}_\theta \mathbf{s}_\theta S_{xx} + (\mathbf{c}_\theta^2 - \mathbf{s}_\theta^2) S_{xy} + \mathbf{c}_\theta \mathbf{s}_\theta S_{yy} & \mathbf{c}_\theta S_{xz} + \mathbf{s}_\theta S_{yz} \\ -\mathbf{c}_\theta \mathbf{s}_\theta S_{xx} + (\mathbf{c}_\theta^2 - \mathbf{s}_\theta^2) S_{xy} + \mathbf{c}_\theta \mathbf{s}_\theta S_{yy} & \mathbf{s}_\theta^2 S_{xx} - 2\mathbf{c}_\theta \mathbf{s}_\theta S_{xy} + \mathbf{c}_\theta^2 S_{yy} & -\mathbf{s}_\theta S_{xz} + \mathbf{c}_\theta S_{yz} \\ \mathbf{c}_\theta S_{xz} + \mathbf{s}_\theta S_{yz} & -\mathbf{s}_\theta S_{xz} + \mathbf{c}_\theta S_{yz} & S_{zz} \end{bmatrix} \quad (6)$$

This can be further simplified by combining the $\mathbf{c}_\theta \mathbf{s}_\theta$ groups:

$$\begin{bmatrix} S_{rr} & S_{r\theta} & S_{rz} \\ S_{\theta r} & S_{\theta\theta} & S_{\theta z} \\ S_{zr} & S_{\theta z} & S_{zz} \end{bmatrix} = \begin{bmatrix} \mathbf{c}_\theta^2 S_{xx} + 2\mathbf{c}_\theta \mathbf{s}_\theta S_{xy} + \mathbf{s}_\theta^2 S_{yy} & \mathbf{c}_\theta \mathbf{s}_\theta (S_{yy} - S_{xx}) + (\mathbf{c}_\theta^2 - \mathbf{s}_\theta^2) S_{xy} & \mathbf{c}_\theta S_{xz} + \mathbf{s}_\theta S_{yz} \\ \mathbf{c}_\theta \mathbf{s}_\theta (S_{yy} - S_{xx}) + (\mathbf{c}_\theta^2 - \mathbf{s}_\theta^2) S_{xy} & \mathbf{s}_\theta^2 S_{xx} - 2\mathbf{c}_\theta \mathbf{s}_\theta S_{xy} + \mathbf{c}_\theta^2 S_{yy} & -\mathbf{s}_\theta S_{xz} + \mathbf{c}_\theta S_{yz} \\ \mathbf{c}_\theta S_{xz} + \mathbf{s}_\theta S_{yz} & -\mathbf{s}_\theta S_{xz} + \mathbf{c}_\theta S_{yz} & S_{zz} \end{bmatrix} \quad (7)$$

To list off the unique components:

$$S_{rr} = \mathbf{c}_\theta^2 S_{xx} + 2\mathbf{c}_\theta \mathbf{s}_\theta S_{xy} + \mathbf{s}_\theta^2 S_{yy} \quad (8)$$

$$S_{r\theta} = \mathbf{c}_\theta \mathbf{s}_\theta (S_{yy} - S_{xx}) + (\mathbf{c}_\theta^2 - \mathbf{s}_\theta^2) S_{xy} \quad (9)$$

$$S_{rz} = \mathbf{c}_\theta S_{xz} + \mathbf{s}_\theta S_{yz} \quad (10)$$

$$S_{\theta\theta} = \mathbf{s}_\theta^2 S_{xx} - 2\mathbf{c}_\theta \mathbf{s}_\theta S_{xy} + \mathbf{c}_\theta^2 S_{yy} \quad (11)$$

$$S_{\theta z} = -\mathbf{s}_\theta S_{xz} + \mathbf{c}_\theta S_{yz} \quad (12)$$

$$S_{zz} = S_{zz} \quad (13)$$

```
%% Preamble
clc; clear;
% startup
set(groot,'DefaultTextInterpreter','latex')
set(groot,'defaultAxesTickLabelInterpreter','latex');
set(groot,'defaultLegendInterpreter','latex');
set(findall(gcf,'-property','FontSize'),'FontSize',14);
format compact;
% % set(groot,'DefaultFigureRenderer','painters');
close all;

% % Problem statement
=====
% Geometry description
=====
Ri = 40; % Inner radius Ri, mm
Ro = 80; % Outer radius Ro, mm
L = 1000; % Length L, mm
Pi = 17; % Inside pressure (radial pressure), N/mm2
Po = 0; % Outside pressure (radial pressure), N/mm2
meshsize_max = 20; % maximum mesh dimension, mm
meshsize_min = 5; % minimum mesh dimension, mm
mesh_order = 'linear'; % or quadratic
% Material Properties
=====
E = 210e3; % Modulus of elasticity E, N/mm2
nu = 0.3; % Poisson's ratio \nu
%% Model creation
=====
model = createpde('structural','static-solid');
% Introduce geometry
=====
gm = multicylinder([Ri Ro],L,'Void',[true,false]);
model.Geometry = gm;
figure
pdegplot(model,'CellLabels','on','FaceLabels','on','EdgeLabels'
,...
'on','VertexLabels','on','FaceAlpha',0.5)
view(30,30);
title('Cylinder with Face/Edge/Cell/Vertex Labels')
```

```

% Assign Material Values
=====
structuralProperties(model,'YoungsModulus',E, ...
                    'PoissonsRatio',nu);

% Applying boundary conditions
=====
structuralBC(model,'Face',1,'Constraint','symmetric');
structuralBC(model,'Face',2,'Constraint','symmetric');

% Apply pressure loads in and out
=====
structuralBoundaryLoad(model,"Face",3,"Pressure",Pi);
structuralBoundaryLoad(model,"Face",4,"Pressure",Po);

% Mesh description, Generate mesh
=====
generateMesh(model,'Hmax',meshsize_max,'Hmin',meshsize_min,...
            'GeometricOrder',mesh_order);
figure;
pdeplot3D(model);
title(['Mesh with Quadratic Tetrahedral Elements with $\Delta_m$
      =',...
      num2str(meshsize_max),'$mm$']);

% Calculate solution
=====
result = solve(model);

%% Evaluate Results
=====
figure
pdeplot3D(model,'ColorMapData',result.VonMisesStress)
title('Von-Mises Stress, MPa')
colormap('jet')
figure
pdeplot3D(model,'ColorMapData',result.Stress.yy)
title('Von-Mises Stress, MPa')
colormap('jet')
save(['ResultsM',num2str(meshsize_max),'m',...
    num2str(meshsize_min),mesh_order,'.mat'],'result','model')
%% Stress values by radius
=====
% Theory

```

```

st = @(r) (Pi*Ri^2-Po*Ro^2)/(Ro^2-Ri^2) ...
    + ((Ri^2*Ro^2)./r.^2)*(Pi-Po)/((Ro^2-Ri^2));
sr = @(r) (Pi*Ri^2-Po*Ro^2)/(Ro^2-Ri^2) ...
    - ((Ri^2*Ro^2)./r.^2)*(Pi-Po)/((Ro^2-Ri^2));
% Based on cartesian to cylindrical transformation if Cos(theta
) =
% Sine(theta) = 0 then Sxx = Syy and Stt = Syy as in the
present case.
% http://solidmechanics.org/text/AppendixD/AppendixD.htm

% Practice and FEM
=====
R = Ri:Ro;

S_theta = []; S_r = [];

for r = R
    si = interpolateStress(result,r,0,L/2);
    S_theta = [S_theta,si.syy];
    S_r = [S_r,si.sxx];
end
%% Longitudinal stress values
=====
figure;
Sz_Ro = [];
Sz_Ri = [];
Sz_Rm = [];
Rm = (Ro+Ri)/2;

l = 0:meshsize_max:L;

for li = l
    si_Ro = interpolateStress(result,Ro,0,li);
    si_Ri = interpolateStress(result,Ri,0,li);
    si_Rm = interpolateStress(result,Rm,0,li);
    Sz_Ro = [Sz_Ro,si_Ro.szz];
    Sz_Ri = [Sz_Ri,si_Ri.szz];
    Sz_Rm = [Sz_Rm,si_Rm.szz];
end

%% Visualize results
=====
f5 = figure;

```

```

subplot(1,2,1);
plot(R,S_r,'b','LineWidth',0.7); hold on;
plot(R,sr(R),'--k','LineWidth',0.7);
xlabel('$r,\:\mathrm{mm}$');
ylabel('$\sigma_r,\:\mathrm{MPa}$');grid on;
subplot(1,2,2);
plot(R,S_theta,'b','LineWidth',0.7); hold on;
plot(R,st(R),'--k','LineWidth',0.7);
xlabel('$r,\:\mathrm{mm}$');
ylabel('$\sigma_{\theta},\:\mathrm{MPa}$'); grid on;
legend('FEM','Theory');
sgtitle({'Radial stress variation',...
        ['$R_i',num2str(Ri),'\mathrm{mm},\:R_o=',num2str(Ro),...
        '\mathrm{mm},\:P_i=',num2str(Pi),'\mathrm{MPa},\:P_o=',
        num2str(Po),...
        '\mathrm{MPa},\:L=',num2str(L),'\mathrm{mm}$']});
f6 = figure;
plot(l,Sz_Ro,'-b','LineWidth',0.7); hold on;
plot(l,Sz_Ri,'--r','LineWidth',0.7);
plot(l,Sz_Rm,'-.k','LineWidth',0.7);
xlabel('$L,\:\mathrm{mm}$');
ylabel('$\sigma,\:\mathrm{MPa}$');grid on;
title({'Longitudinal stress variation',...
        ['$R_i',num2str(Ri),'\mathrm{mm},\:R_o=',num2str(Ro),...
        '\mathrm{mm},\:P_i=',num2str(Pi),'\mathrm{MPa},\:P_o=',
        num2str(Po),...
        '\mathrm{MPa},\:L=',num2str(L),'\mathrm{mm}$']});

```

۳.۴ کد مدل 2D

```

%% Preamble
clc; clear;
% startup
set(groot,'DefaultTextInterpreter','latex')
set(groot,'defaultAxesTickLabelInterpreter','latex');
set(groot,'defaultLegendInterpreter','latex');
set(findall(gcf,'-property','FontSize'),'FontSize',14);
format compact;
% % set(groot,'DefaultFigureRenderer','painters');
close all;

% % Problem statement
% Geometry description
=====

```



```

Ri = 40; % Inner radius Ri, mm
Ro = 80; % Outer radius Ro, mm
L = 1000; % Length L, mm
Pi = 17; % Inside pressure (radial pressure), N/mm2
Po = 0; % Outside pressure (radial pressure), N/mm2
meshsize_max = 8; % maximum mesh dimension, mm
meshsize_min = 1; % minimum mesh dimension, mm
mesh_order = 'linear'; % or quadratic

% Material Properties
=====
E = 210e3; % Modulus of elasticity E, N/mm2
nu = 0.3; % Poisson's ratio \nu
% rho = 8000; % Mass density \rho, kg/m3 irrelevant for static
model

% Measurement
theta = pi/4;

%% Model creation
=====
model = createpde('structural','static-planestress');
% Introduce geometry
=====
importGeometry(model,'mesh2d.stl');

f1 = figure('Position',[100,40,1200,1000],'Renderer','painters'
);
subplot(2,2,1);
pdegplot(model,'EdgeLabels','on','FaceLabels','on','
VertexLabels','on');
title('Cylinder with Face/Edge/Vertex Labels')

% Assign Material Values
structuralProperties(model,'YoungsModulus',E, ...
'PoissonsRatio',nu);

% Applying boundary conditions
structuralBC(model,'Edge',1,'Constraint','symmetric');
structuralBC(model,'Edge',4,'Constraint','symmetric');
%
% % Apply pressure loads in and out
structuralBoundaryLoad(model,"Edge",3,"Pressure",Pi);
structuralBoundaryLoad(model,"Edge",2,"Pressure",Po);

```

```

%
% % Mesh description, Generate mesh
mesh = generateMesh(model,'Hmax',meshsize_max,'Hmin',
    meshsize_min,'GeometricOrder',mesh_order);
subplot(2,2,2);
pdeplot(model);
title(['Mesh with Triangular Elements with  $\Delta_m=$ ',num2str(
    meshsize_max), '$mm$']);

% Specify line of nodes considered for analysis
R = ((Ri):(Ro)); n_ids = zeros(size(R));
for i = 1:length(R)
    r = R(i);
    point = r*[cos(theta);sin(theta)];
    n_ids(i) = findNodes(mesh,'nearest',point);
end
subplot(2,2,3);
pdemesh(model,'NodeLabels','on'); hold on;
plot(mesh.Nodes(1,n_ids),mesh.Nodes(2,n_ids),'or','
    MarkerFaceColor','g')
axis off;
subplot(2,2,4);
pdemesh(model); hold on
plot(mesh.Nodes(1,n_ids),mesh.Nodes(2,n_ids),'or','
    MarkerFaceColor','g')
axis off;

title([' $\theta=$ ',num2str(rad2deg(theta)),' $^\circ$ '])
legend('Mesh elements','Edges','Interpolation nodes');

% print('-f',['Figures/fig01m',num2str(meshsize_max)],'-dsvg')
%% Calculate solution
result = solve(model);
%% Visualize
figure('Position',[100,100,1900,600],'Renderer','painters');
subplot(1,4,1);
pdeplot(model,'XYData',result.Stress.sxx,'ColorMap','jet')
title('Stress  $\sigma_{xx}$ ');
axis equal;
subplot(1,4,2);
pdeplot(model,'XYData',result.Stress.syy,'ColorMap','jet')
title('Stress  $\sigma_{yy}$ ');
axis equal;

```

```

subplot(1,4,3);
pdeplot(model,'XYData',result.Stress.sxy,'ColorMap','jet')
title('Stress  $\sigma_{xy}=\sigma_{yx}$ ');
axis equal;
subplot(1,4,4);
pdeplot(model,'XYData',result.VonMisesStress,'ColorMap','jet');
title('Von-Mises stress');
axis equal;
print('-f',['Figures/fig02m',num2str(meshsize_max)],'-dsvg')
% save(['Results2dM',num2str(meshsize_max),'m',num2str(
    meshsize_min),mesh_order','.mat'],'result','model')
%% More
st = @(r) (Pi*Ri^2-Po*Ro^2)/(Ro^2-Ri^2) + ((Ri^2*Ro^2)./r.^2)*(
    Pi-Po)/((Ro^2-Ri^2));
sr = @(r) (Pi*Ri^2-Po*Ro^2)/(Ro^2-Ri^2) - ((Ri^2*Ro^2)./r.^2)*(
    Pi-Po)/((Ro^2-Ri^2));
R = (Ri):(Ro));

S_theta = []; S_r = [];
% figure();
for r = R
    Ct = cos(theta); St = sin(theta);
    si = interpolateStress(result,r*Ct,r*St);
    S_theta = [S_theta,si.syy*Ct^2 - 2*Ct*St*si.sxy + si.sxx*St
        ^2];
    S_r = [S_r,si.sxx*Ct^2 + 2*Ct*St*si.sxy + si.syy*St^2];
end
f5 = figure('Position',[100,80,800,600],'Renderer','painters');
subplot(1,2,1);
plot(R,S_r,'-r','LineWidth',0.7); hold on;
plot(R,sr(R),'--k','LineWidth',0.7);
xlabel('$r,\:\mathrm{mm}$');
ylabel('$\sigma_r,\:\mathrm{MPa}$');grid on;
subplot(1,2,2);
plot(R,S_theta,'-r','LineWidth',0.7); hold on;
plot(R,st(R),'--k','LineWidth',0.7);
xlabel('$r,\:\mathrm{mm}$');
ylabel('$\sigma_{\theta},\:\mathrm{MPa}$'); grid on;
legend('FEM','Theory');
sgtitle(['Radial stress variation,  $\theta=$ ',num2str(rad2deg(
    theta)),' $^{\circ}$ '],...
    ['$R_i=',$num2str(Ri),'\mathrm{mm},\:R_o=',$num2str(Ro),...
    '\mathrm{mm},\:P_i=',$num2str(Pi),'\mathrm{MPa},\:P_o='],

```

```

num2str(Po),...
'\mathrm{MPa},\text{:L=}',num2str(L),'\mathrm{mm}\$']});
% print('-f',['Figures/fig03m',num2str(meshsize_max)],'-dsvg')

```

۴.۴ پایتون تولید هندسه در ABAQUS

```

# -*- coding: mbcs -*-
from part import *
from material import *
from section import *
from assembly import *
from step import *
from interaction import *
from load import *
from mesh import *
from optimization import *
from job import *
from sketch import *
from visualization import *
from connectorBehavior import *
mdb.models['Model-1'].ConstrainedSketch(name='__profile__', sheetSize=200.0)
mdb.models['Model-1'].sketches['__profile__'].CircleByCenterPerimeter(center=
(
    0.0, 0.0), point1=(80.0, 0.0))
mdb.models['Model-1'].sketches['__profile__'].CircleByCenterPerimeter(center=
(
    0.0, 0.0), point1=(40.0, 0.0))
mdb.models['Model-1'].sketches['__profile__'].Line(point1=(0.0, 80.0), point2
=(
    0.0, 40.0))
mdb.models['Model-1'].sketches['__profile__'].VerticalConstraint(addUndoState
=
    False, entity=mdb.models['Model-1'].sketches['__profile__'].geometry[4])
mdb.models['Model-1'].sketches['__profile__'].PerpendicularConstraint(
    addUndoState=False, entity1=
    mdb.models['Model-1'].sketches['__profile__'].geometry[2], entity2=
    mdb.models['Model-1'].sketches['__profile__'].geometry[4])
mdb.models['Model-1'].sketches['__profile__'].CoincidentConstraint(
    addUndoState=False, entity1=
    mdb.models['Model-1'].sketches['__profile__'].vertices[3], entity2=
    mdb.models['Model-1'].sketches['__profile__'].geometry[2])
mdb.models['Model-1'].sketches['__profile__'].CoincidentConstraint(
    addUndoState=False, entity1=
    mdb.models['Model-1'].sketches['__profile__'].vertices[4], entity2=
    mdb.models['Model-1'].sketches['__profile__'].geometry[3])
mdb.models['Model-1'].sketches['__profile__'].Line(point1=(40.0, 0.0), point2
=(
    80.0, 0.0))
mdb.models['Model-1'].sketches['__profile__'].HorizontalConstraint(
    addUndoState=False, entity=
    mdb.models['Model-1'].sketches['__profile__'].geometry[5])
mdb.models['Model-1'].sketches['__profile__'].PerpendicularConstraint(
    addUndoState=False, entity1=

```

```

        mdb.models['Model-1'].sketches['__profile__'].geometry[3], entity2=
        mdb.models['Model-1'].sketches['__profile__'].geometry[5])
mdb.models['Model-1'].sketches['__profile__'].autoTrimCurve(curve1=
        mdb.models['Model-1'].sketches['__profile__'].geometry[3], point1=(
        -28.4243316650391, 22.0929641723633))
mdb.models['Model-1'].sketches['__profile__'].autoTrimCurve(curve1=
        mdb.models['Model-1'].sketches['__profile__'].geometry[2], point1=(
        -48.0591735839844, 64.5711441040039))
mdb.models['Model-1'].Part(dimensionality=TWO_D_PLANAR, name='Part-1', type=
        DEFORMABLE_BODY)
mdb.models['Model-1'].parts['Part-1'].BaseShell(sketch=
        mdb.models['Model-1'].sketches['__profile__'])
del mdb.models['Model-1'].sketches['__profile__']
mdb.models['Model-1'].parts['Part-1'].seedPart(deviationFactor=0.1,
        minSizeFactor=0.1, size=11.0)
mdb.models['Model-1'].parts['Part-1'].generateMesh()
mdb.models['Model-1'].parts['Part-1'].deleteMesh()
mdb.models['Model-1'].parts['Part-1'].seedPart(deviationFactor=0.1,
        minSizeFactor=0.1, size=2.0)
mdb.models['Model-1'].parts['Part-1'].generateMesh()
mdb.models['Model-1'].parts['Part-1'].deleteMesh(regions=
        mdb.models['Model-1'].parts['Part-1'].faces.getSequenceFromMask(('[#1 ]',
        ), ))
mdb.models['Model-1'].parts['Part-1'].setMeshControls(elemShape=TRI, regions=
        mdb.models['Model-1'].parts['Part-1'].faces.getSequenceFromMask(('[#1 ]',
        ), ))
mdb.models['Model-1'].parts['Part-1'].generateMesh()

```

مراجع

- [1] Hooke, R. De potentia restitutiva, or of spring explaining the power of springing bodies. *London, UK: John Martyn*, 23, 1678. [2](#), [3](#)